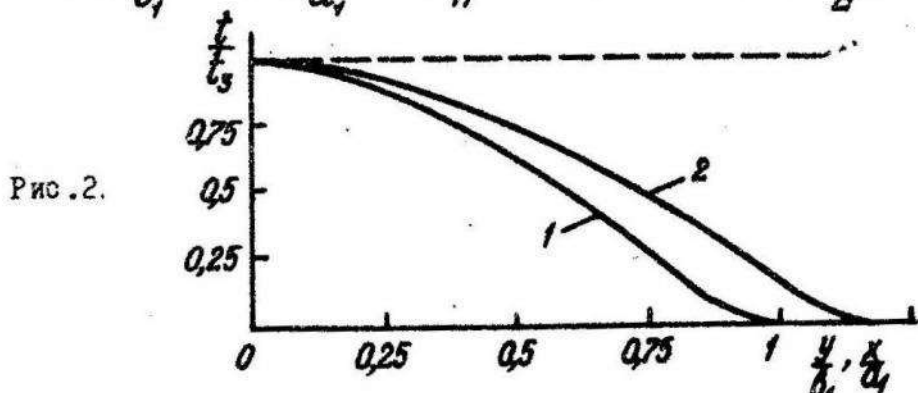


Як приклад показані результати для сталевої /матеріал I X 18 H 9 T/ пологої сферичної  $K_1 = K_2 = 1/R$  оболонки з параметрами  $\frac{a}{b} = 1,2; \frac{a_1}{b_1} = 1,2; \frac{a}{a_1} = 2; \frac{R}{h} = 100; K = 0,5; \frac{q}{G} = 10$ .



На рис. 2 показані графіки розподілу температури у перетинах  $\chi = 0$  /лінія 1/ і  $Y = 0$  /лінія 2/ оболонки.

Список літератури: 1. Безухов Н.П., Бажанов В.Л., Гольденблат И.И. и др. Расчет на прочность, устойчивость и колебание в условиях высоких температур. М.: Машиностроение, 1968. 2. Огирко И.В. Оптимизация термоапрессий и деформаций в гибких оболочках с учетом температурной зависимости характеристик материала на основе применения итерационных методов: Автореф. дис. ... канд. физ.-мат. наук. - Львов, 1978.

Стаття надійшла в редколегію 04.08.81

УДК 624.07:534.1

Б.І.Гайвась, В.М.Фарат

ДОСЛІДЖЕННЯ КОЛІВАНЬ І СТІЙКОСТІ КОНІЧНОГО СТЕРЖНЯ

ЗІ ЗОСЕРЕДЖЕНИМИ МАСАМИ, ЩО ЗНАХОДЯТЬСЯ

НА УЗАГАЛЬНЕНІЙ ВІНКЛЕРОВІЙ ОСНОВІ

У праці [1] вказано спосіб побудови характеристичного ряду крайової задачі, що описує поперечні коливання стиснутих пружних стержнів змінної жорсткості з зосередженими масами та сингулярностями у пружній основі.

Застосуємо цей спосіб до дослідження коливань і стійкості конічного конічного стержня з зосередженими масами на сингулярній

основі при сумісній дії консервативної і слідкучої сил на вільному кінці  $x = 0$ , вважаючи, що кінець  $x = l$  пружно закріплений. Включення у розподілений параметри зосереджені в точках  $x \in \overline{0, l}$ .

Приймаючи позначення праці [1] маємо

$$f(x) = (a + bx)^4, \quad g(x) = (a + bx)^2, \quad /1/$$

де 1/  $a = 1 - d$ ,  $b = d$  для стержня, зображеного на рис. 1; 2/  $a = 1$ ,  $b = -d$  для стержня, зображеного на рис. 2;  $d = \frac{l}{h}$  – параметр конуності;  $l$  – довжина зрізаного конуса;  $h$  – довжина повного конуса.

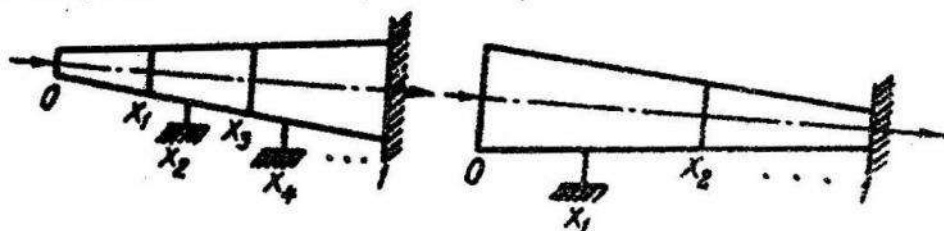


Рис. 1.

Рис. 2.

Фундаментальна система розв'язків рівняння /9/ праці [1] відома і має вигляд

$$\varphi_1(x) = (a + bx) \left[ \frac{a-b}{\sqrt{\rho}} \sin \frac{\sqrt{\rho}x}{a(a+bx)} + \frac{1}{a} \cos \frac{\sqrt{\rho}x}{a(a+bx)} \right],$$

$$\varphi_2(x) = (a + bx) \left[ -\frac{b}{\sqrt{\rho}} \sin \frac{\sqrt{\rho}x}{a(a+bx)} + \frac{1}{a} \cos \frac{\sqrt{\rho}x}{a(a+bx)} \right], \quad /2/$$

$$G(x, \xi) = \frac{(a + bx)(a + b\xi)}{\sqrt{\rho}} \sin \frac{\sqrt{\rho}(x-\xi)}{(a + bx)(a + b\xi)},$$

$$\psi(x, \xi) = -(a + bx)(a + b\xi)\eta(\theta).$$

$$\eta(\theta) = \frac{1}{\rho} \sin \sqrt{\rho}\theta - \theta, \quad /3/$$

$$\theta = \frac{x - \xi}{(a + bx)(a + b\xi)}.$$

Введемо позначення

$$\Omega_i = \frac{1 - x_i}{(a + bx_i)(a + b)}, \quad \chi_m = \frac{1 - a\theta_m(a + b)}{1 + b\theta_m(a + b)},$$

$$\Omega_{ij} = \frac{x_i - x_j}{(a + bx_i)(a + bx_j)}, \quad \Omega_{ii} = \frac{x_i}{(a + bx_i)a},$$

$$\chi_{im} = \frac{x_i - a(a + bx_i)\theta_m}{1 + b(a + bx_i)\theta_m}.$$

/4/

Використовуючи рекурентні спiввiдношення /19/ [1] приходимо пiсля деяких перетворень до розрахункових формул, необхiдних для обчислення коефiцiєнтiв  $A_{irk}$  характеристичного ряду:

$$A_{irk}^m = (-1)^m \frac{(a + bx_i)^{\delta m}}{p^m} \int_0^{\Omega_{im}} \cdots \int_0^{\Omega_{m-1}} \varphi_{i,m,\mu}^i(\theta) \Phi_{ko}''(\chi_{im}) d\theta_m \cdots d\theta_i + \\ + \sum_{j=1}^{i-1} \left\{ (-1)^m \frac{(a + bx_i)^{\delta m}}{p^m} \int_0^{\Omega_{m-1}} \cdots \int_0^{\Omega_{m-1}} \varphi_{i,m-1}^j(\theta) \Phi_{koj}''(\chi_{im}) d\theta_m \cdots d\theta_i + \right. \\ + \sum_{\mu=1}^{m-1} (-1)^{m-\mu} \frac{(a + bx_i)^{\delta(m-\mu)}}{p^{m-1-\mu}} \int_0^{\Omega_{m-1-\mu}} \cdots \int_0^{\Omega_{m-1-\mu}} \varphi_{i,m+\mu}^j(\theta) \sum_{q=1}^{\mu} \int_0^{\Omega_{m-1-\mu}} \varphi_{j,q-1,k}^q(\theta) \right. \\ \left. \left. + \eta_{qj}^0 A_{jq-1,k}^m \right] (-1)^{q-1} \psi_{\xi}^{(q-1)}(x_{im-\mu}, x_j) d\theta_{m-\mu} \cdots d\theta_i + \right. \\ \left. + \frac{1}{p} \sum_{q=1}^2 \left[ \eta_{qj}^0 A_{jq-1,k}^{m-1} + \eta_{qj}^0 A_{jq-1,k}^m \right] (-1)^{q-1} \left[ \psi_{\xi}^{(q-1)}(x, x_j) \right]_{x/x=x_j}^{(v)} \right\},$$

$$\Phi_{km}^{(v)}(1) = (-1)^m \frac{(a + b)^{\delta m}}{p^m} \int_0^{\Omega_{m-1}} \cdots \int_0^{\Omega_{m-1}} \varphi_{i,m-1}^i(\theta) \Phi_{ko}''(\chi_m) d\theta_i \cdots d\theta_m +$$

$$+ \sum_{i=1}^n \left\{ (-1)^m \frac{(a + b)^{\delta m}}{p^m} \int_0^{\Omega_{m-1}} \cdots \int_0^{\Omega_{m-1}} \varphi_{i,m-1}^i(\theta) \Phi_{koi}''(\chi_m) d\theta_i \cdots d\theta_m + \right.$$

$$\begin{aligned}
& + \sum_{\mu=1}^{m-1} (-1)^{m-\mu} \frac{(a+b)^{\sigma(m-\mu)}}{\rho^{m+1-\mu}} \int \dots \int_{\theta_{m-\mu-1}}^{\theta_m} \varphi_{\nu}^{(m-1-\mu)}(\theta_i) \sum_{q=1}^{\infty} \left[ \eta_{q_i}^i A_{iq-1k}^{\mu-1} + \right. \\
& \left. + \eta_{q_i}^i A_{iq-1k}^{\mu} \right] (-1)^{q-1} \psi_{\xi}^{(q-1)}(x_{m-\mu}, x_i) d\theta_{m-\mu} \dots d\theta_1 + \\
& + \frac{1}{\rho} \sum_{q=1}^{\infty} \left[ \eta_{q_i}^i A_{iq-1k}^{m-1} + \eta_{q_i}^i A_{iq-1k}^m \right] (-1)^{q-1} \left[ \psi_{\xi}^{(q-1)}(x, x_i) \right]_{x/x=1}^{(n)}, \quad (5)
\end{aligned}$$

де

$$\varphi_{\nu}^i(\theta_i, x) = \frac{f_i(\theta_i, x) \prod_{j=1}^i \Gamma(\theta_{j+1} - \theta_j)}{\left[ 1 + (a + bx) b \theta_{j+1} \right]^{\nu} \prod_{j=1}^i \left[ 1 + b(a + bx) \theta_j \right]^{\nu}};$$

$$\varphi_{\nu}^i(\theta_i) = \varphi_{\nu}^i(\theta_i, x_i); \quad \varphi_{\nu}^i(\theta_i) = \varphi_{\nu}^i(\theta_i, 1);$$

(6)

$$f_0(\theta_i, x) = \eta(\theta_i);$$

$$f_1(\theta_i, x) = \frac{1}{(a + bx)^{\nu}} \{ \eta'(\theta_i) + b(a + bx) \eta(\theta_i) \};$$

$$f_2(\theta_i, x) = \frac{\rho}{(a + bx)^{\nu}} [\eta(\theta_i) + \theta_i].$$

З використанням цих формул характеристичне рівняння для козольного стержня набуває вигляду

$$\sum_{m=0}^{\infty} A_m \omega^m = 0, \quad A_m = b_{mk} + \delta_m d_{mk}. \quad (7)$$

Коєфіцієнти  $b_{mk}$  .  $d_{mk}$  визначаються через  $\Phi_{mk}^{(m)}(t)$  з допомогою спiввiдношень /29/ [1].

Для короткозашемленого кiнця  $X = I$  /для випадку I, зображеного на рис. I/ шляхом граничного переходу з характеристичного ряду /7/ отримуємо характеристичний поліном

$$A_0 + A_1 \Omega^2 + A_2 \Omega^4 = 0,$$

де  $A_0 = 1 + \gamma d_1 \left[ \eta' \left( \frac{1}{d_1} \right) + \alpha \eta \left( \frac{1}{d_1} \right) \right]$ ;

$$A_1 = \eta \left[ \left\{ f(x_{i-1}) - \gamma d_1 \left[ (d_i + \alpha x_i) \eta(\xi_{ii}) - \eta \left( \frac{1}{d_1} \right) \right] \right\} \times \right. \\ \left. \times \frac{\Psi''(\xi_{ii})}{\rho} \Big|_{\substack{x=1 \\ \xi=x_i}} + \frac{\gamma(x_i)}{\rho} \left\{ 1 + \gamma d_1 \left[ \eta' \left( \frac{1}{d_1} \right) + \alpha \eta \left( \frac{1}{d_1} \right) \right] \right\} \right] - \\ \eta_{21} \left\{ 1 + \gamma d_1 \left[ \frac{\eta'(\xi_{ii})}{d_1 + \alpha x_i} + \alpha \eta(\xi_{ii}) \right] \right\} \Psi''(x, \xi) \Big|_{\substack{x=1 \\ \xi=x_i}} ; \\ A_2 = \eta_{11} \eta_{21} \left\{ 1 + \alpha \gamma \left[ \frac{1}{d_1 + \alpha x_i} \eta'(\xi_{ii}) + \alpha \eta(\xi_{ii}) \right] \right\} \left[ \Psi'' \Psi - \frac{\Psi' \Psi'}{\xi} \right] \Big|_{\substack{x=1 \\ \xi=x_i}} ; \\ \alpha = 1 - d; \gamma = 1 - \gamma; \eta_{11} = \frac{M_1 l}{EJ}; \eta_{21} = \frac{I_1 l}{EJ}, \\ \text{який у випадку } \alpha = 0 \text{ /циліндричний стержень/ збігається з результатом праці [2].}$$

$\eta'_{21} = 0$

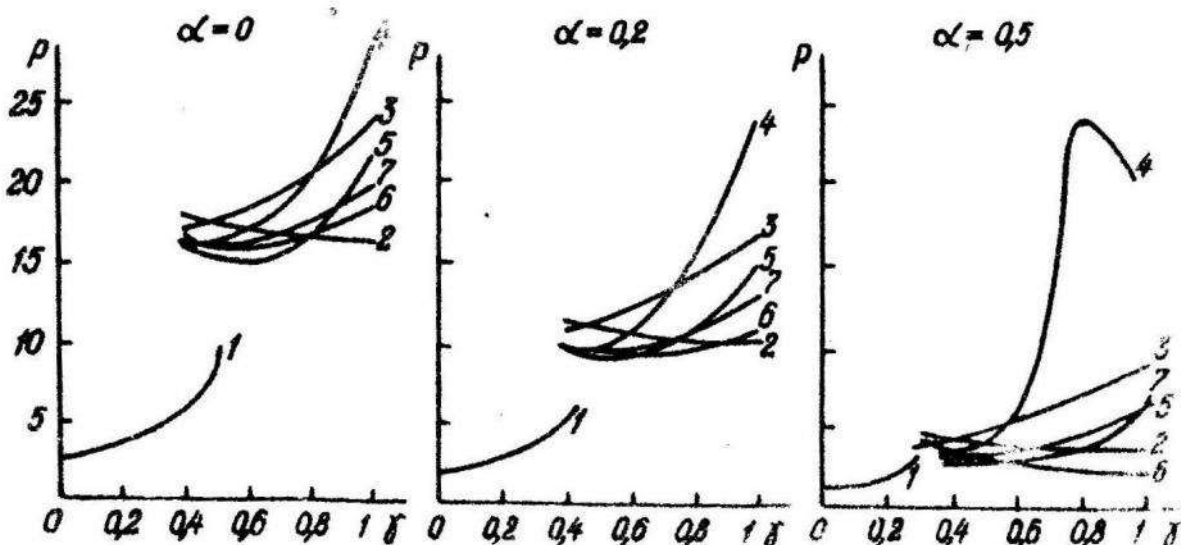


Рис. 3.

Рис. 4.

Рис. 5.

Як видно з рис. 3-5 статична втрата стійкості /крива I/ не залежить від зосередженої маси, а лише від параметрів конусності  $d$  і неконсервативності  $\gamma$ .

Для циліндричного стержня ( $d = 0$ ) статична втрата стійкості може настути тільки при параметрі неконсервативності  $\gamma \leq 0,5$ , для конічного ( $d = 0,2$ ) при  $\gamma \leq 0,42$ , при  $d = 0,5$  – при  $\gamma \leq 0,3$ . Криві 2-7 відповідають флатеру. Флтерні криві залежать як від параметрів конусності, неконсервативності, так і від точки розміщення маси. Точці прикладення маси  $X_1 = 0; 0,2; 0,4; 0,6; 0,8$ ; і відповідають криві 2-7.

Список літератури: І. Гайва съ Б.И. К исследованию малых колебаний и устойчивости многопараметрических стержневых систем. – Рукопись деп. ВИНИТИ 1980, № 2743-80. 2. Леонов М.Я. Основы механики упругого тела.-Фрунзе, Изд-во АН Кирг. ССР, 1963.

Стаття надійшла в редакцію 16.04.81

УДК 533.6.013.42

О.В.Блахієвська, Г.І.Ткачук

ДОСЛІДЖЕННЯ ВЗАЄМОДІЇ ОБОЛОНКИ ОБЕРТАННЯ  
З ОТОЧУЮЧОЮ РІДКОСТЮ ПРИ НАЯВНОСТІ ВНУТРІШньОГО  
ДЖЕРЕЛА ХВИЛЬ

Розглянемо тонку пружну оболонку обертання, заповнену й оточеною рідкими середовищами, густини та швидкості звуку в яких рівні відповідно  $\rho_1, C_1$  та  $\rho_2, C_2$ . Серединна поверхня оболонки утворена обертанням дуги кола навколо хорди. Нехай у внутрішньому середовищі на осі симетрії розміщене джерело збурень, що генерує акустичну хвилю, тиск у якій змінюється за законом

$$\rho = \frac{\rho_0}{\rho} g(\tau - t) [H(\tau - t) - H(\tau - t - \tau_0)], \quad /1/$$

де  $\rho_0$  – постійна, яка має розмірність тиску;  $t$  – безмірна /відносна до півдовжини  $R$  хорди/ відстань від джерела;  $g$  – функція,